

تأثيرات الرؤية على التعقيم المركزي ومواضع الانقلاب لمنحني السطوع السطحي لمجرة اهليلجية كروية مفترضة

د. سعد محمود يونس *
عمر باسل محمد صالح
* قسم الفيزياء / كلية التربية / جامعة الموصل

تاريخ الاستلام 2005/6/5
تاريخ القبول 2005/7/17

Abstract

The seeing effects on spherical symmetric Elliptical galaxy type E0 following the $r^{1/4}$ - model has been calculated by using two type of the point spread function the Gaussian and Moffat functions . This study showed that the amount of central dimming $\Delta\mu(0)$ for the seeing convolved Elliptical galaxy have an exponentially relationship with the reduced central dispersion value (σ / r_e) of the point spread function , also the same proportion has been found for changeable positions r_{\pm} for the seeing convolved surface brightness profiles . The relationships for the central dimming $\Delta\mu(0)$ and the changeable positions r_{\pm} as a function of the reduced central dispersion have been found .

الخلاصة

تم في هذا البحث حساب تأثيرات الرؤية على مجرة اهليلجية كروية منتظمة نوع (E0) تتبع نموذج $r^{1/4}$ ، باستخدام دالة الانتشار النقطي من نوع كاوس وموفت ، وبينت الدراسة ان التعقيم المركزي $\Delta\mu(0)$ للمجرات الاهليلجية المعاملة بمؤثرات الرؤية يتناسب اسياً مع قيمة التشستت المركزي المختزلة (σ / r_e) لدالة الانتشار النقطي وأن مواضع الانقلاب r_{\pm} لمنحنيات السطوع السطحي المعاملة بمؤثرات الرؤية لها نفس التناسب ، كما تم إيجاد العلاقات التي تربط التعقيم المركزي ومواضع الانقلاب بقيمة التشستت المركزي المختزلة (σ / r_e) .

المقدمة :

دائماً تتأثر الأرصاد المأخوذة بالأجهزة الفلكية الأرضية بالغلاف الجوي ، كما إن الأجهزة الفلكية لها عيوب بصرية (كالأنكسار والانعكاس والتشتت والزيغ الخ) تؤدي مع الاضطرابات الموجودة في الغلاف الجوي إلى تحويل المصادر الضوئية النقطية إلى مصادر ضوئية قرصية . وهذا التغير يعتمد بشكل الدالة التي تمثل كل هذه التأثيرات والتي يطلق عليها بدالة الانتشار النقطي (Point Spread Function) وإختصاراً PSF . إستخدم (Schweier 1979, 1981) نموذج $r^{1/4}$ ونموذج King لدراسة تأثيرات الرؤية (Seeing Effects) على توزيع الضوء في مراكز المجرات الاهليلجية باستخدام دالة الانتشار النقطي نوع كاوس ، وبين من خلال هذه الدراسة إن تأثيرات الرؤية تجعل مراكز معظم المجرات الاهليلجية غير حقيقية حيث أن نصف القطر الظاهري لمراكز المجرات الاهليلجية r_c (Core Radius) قد لا يعكس نصف القطر الحقيقي لمراكز تلك المجرات ، وإنما يعتمد وبشدة على تأثيرات الرؤية عند الرصد . إستخدم (Djorgovski 1983) دالة كاوس (Gaussian Function) ودالة موفت (Moffat Function) وبين إن دالة موفت تمثل وبشكل جيد الـ PSF لمؤثرات الرؤية ، وقام (Younis et al. 1988) بدراسة تأثيرات الرؤية على مراكز المجرات الاهليلجية من خلال دراسة تأثير شكل دالة الانتشار النقطي على كل من منحنيات تساوي الشدة الضوئية (Isophote) والتعقيم المركزي (Central Dimming) باستخدام نموذج $r^{1/4}$ ، حيث استعمل دالتين لتمثيل دالة الانتشار النقطي ، الاولى هي دالة كاوس ، والثانية هي دالة كاوس مضاعفاً لها اجنحة أسية ، وقد أظهرت نتائج البحث إن دالة الانتشار النقطي التي تمتلك أجنحة أسية تعطي تأثيرات متوافقة مع الأرصاد ، كما حسب تأثيرات الرؤية على التعقيم المركزي ، وبين أن التعقيم يتبع علاقة أسية مع قيمة التشتت المركزي المختزل (σ / r_e) لدالة كاوس ، وكذلك توصل Younis إلى أن مواضع الانقلاب r_{\pm} (والتي تتغير عندها إشارة الفرق بين السطوح السطحي للنموذج $r^{1/4}$ مع منحنيات السطوح السطحي للنماذج الملتفة بمؤثرات الرؤية) تتغير بشكل أسّي مع (σ / r_e) . وقام Younis (1997) بدراسة اخرى حول تأثيرات الرؤية على توزيع النورانية

السطحية للمجرات الاهليلجية ، إشتملت على تحليل منحنيات السطوع السطحي لـ 39 مجرة اهليلجية اختيرت من بين 49 مجرة نشرت أرسادها من قبل (1987) Jedrzejewski ، وقد تمت مقارنة نتائج التحليل مع نموذج - $r^{1/4}$ المعالج بمؤثر الرؤية ، وأكد على أن توزيع النورانية في مراكز المجرات الاهليلجية يتبع نموذج - $r^{1/4}$.

أما في الدراسة الحالية فقد تم بناء نموذج لمجرة اهليلجية تتبع نموذج - $r^{1/4}$ ودراسة تأثيرات الرؤية على التعتيم المركزي ومواضع الانقلاب r_{\pm} باستخدام نوعين من دوال الانتشار النقطي النوع الاول دالة كاوس والنوع الثاني دالة موفت ولمديات مختلفة من σ و β والتي تمثل مَعلمات هاتين الدالتين .

النموذج النظري لمجرة اهليلجية :

لتمثيل مجرة بشكل نظري تم استخدام نموذج - $r^{1/4}$ حسب المعادلة

التالية : (1948) de Vaucouleurs

$$\frac{I(x,y)}{I_0} = \exp \left[-7.76 \left(\frac{\{(b/a)x^2 + (a/b)y^2\}^{1/2}}{r_e} \right)^{1/4} \right] \quad \text{---- (1)}$$

حيث I هي السطوع السطحي بوحدات الشدة الضوئية ، x و y تمثل الاحداثيات الكارتيزية ونقطة الاصل تكون في مركز المجرة ، a و b هما نصف قطر المحور الرئيسي والثانوي على التوالي ، و r_e يمثل نصف القطر القطبي المؤثر الذي يضم نصف الضوء الكلي المنبعث من المجرة . وقد تم إعتقاد مجرة اهليلجية كروية منتظمة من نوع $E0$ ($b/a = 1$) ، وإن المسافة القطبية (r) تساوي :

$$r = (x^2 + y^2)^{1/2} \quad \text{--- (2)}$$

لذا فالمعادلة (1) اعلاه يمكن تمثيلها بالشكل التالي :

$$\mu(r) - \mu(0) = 8.3275 \left(\frac{r}{r_e} \right)^{1/4} \quad \text{--- (3)}$$

μ السطوع السطحي بوحدات القدر الضوئي لمربع الثانية القوسية ($\text{mag./}''$)

حيث أن $\mu = -2.5 \log I$.

ولغرض تغطية جزء كبير من حجم المجرة ، فإن مدى توزيع النورانية للمجرة تم حسابه للمدى القطبي المختزل $-2 \leq (r/r_0) \leq 2$ بزيادة منتظمة مقدارها 0.001 ، لذلك فإن حجم المجرة المفترضة تتمثل بـ $(2000 \times 2000$ pixel ، الشكل (1) يوضح صورة المجرة المفترضة في بعدين ، أما الشكل (2) يوضح صورة المجرة المفترضة في ثلاثة أبعاد ، والبعد الثالث يعبر عن شدة السطوع السطحي .

النماذج النظرية لدالة الانتشار النقطي (PSF) :

في هذه الدراسة تم اعتماد نموذجين لدالة الانتشار النقطي هما دالة كاوس ودالة موفت وعليه فقد تم بناء نموذج توزيع السطوع السطحي لهاتين الدالتين في بعدين (x , y) وحسب العلاقات التالية : [Trujillo et al. 2001]

$$PSF_G(x, y) = \frac{1}{2\pi\sigma^2} \exp\left[-\frac{1}{2}\left(\frac{(x^2 + y^2)^{1/2}}{\sigma}\right)^2\right] \quad \text{--- (4)}$$

$$PSF_M(x, y) = \frac{\beta - 1}{\pi\alpha^2} \left[1 + \left(\frac{(x^2 + y^2)^{1/2}}{\alpha}\right)^2\right]^{-\beta} \quad \text{--- (5)}$$

حيث σ هي التشتت المركزي لدالة كاوس و α ، β هي معاملات دالة موفت والعرض الكامل لمنتصف القمة لدالة موفت تتمثل بالعلاقة التالية [Saglia et al. 1993] :

$$FWHM = 2\alpha\sqrt{2^{1/\beta} - 1} \quad \text{--- (6)}$$

ولضمان شمول تأثير الدالتين بشكل جيد ، تم بناء نموذج الدالتين للمدى القطبي $-20\sigma \leq (\sigma/r) \leq +20\sigma$ ، ولأجل تحديد نفس المدى القطبي للدالتين تم حساب العلاقة التالية التي تربط بين المعلمات α و σ لاحظ الملحق (A) .

$$\alpha = \frac{2.35482}{2} \frac{\sigma}{\sqrt{2^{1/\beta} - 1}} \quad \text{--- (7)}$$

انظر الشكل (3) و (4) الذي يوضح الدالتين كاوس وموفت بثلاثة أبعاد .

أما الشكل (5) يمثل تغيير الشدة السطحية لدالتي كاوس وموفت ولقيم مختلفة لـ β { $\beta = 1.5$ ، $\beta = 2.5$ ، $\beta = 4.76$ ، $\beta = 10^+$ و $\beta = 25^+$ } مع المسافة القطبية المختزلة بالنسبة للعرض الكامل لمنتصف القمة (r/FWHM) . من ملاحظة الشكل ، يتبين إن زيادة قيمة β تجعل منحنى دالة موفت يقترب من منحنى دالة كاوس ، أي أن دالة موفت تحتوي دالة كاوس عندما β تقترب من الملائمة لاحظ الملحق (B) ، كما يوضح الشكل الانتشار الواسع والمنبسط (ذي الاجنحة) لتوزيع الشدة لدالة موفت اذ كلما قلت قيمة β ، زاد إنحدار توزيع شدة السطوع السطحي لدالة موفت عن دالة كاوس ، ولهذا السبب يجب اختيار مدى قطبي واسع بحيث يغطي معظم الشدة الضوئية للدالتين [Bendinelli et al. 1990] .

التفاف الرؤية (Seeing Convolution) :

إن تأثيرات الرؤية على صور الاجرام السماوية يمكن تمثيلها بصيغة رياضية تعبر عن التفاف توزيع الشدة الضوئية الحقيقية للجرم السماوي مع الدالة التي تمثل تأثيرات الرؤية والمعبر عنها بدالة الانتشار النقطي . اذا اعتبرنا أن I^{true} تمثل توزيع الشدة الضوئية الحقيقية للجرم ، و PSF تمثل تأثيرات الرؤية ، فان معادلة الالتفاف تتمثل بالعلاقة التالية :

$$I^{obs.} = I^{true} * PSF \quad \text{--- (8)}$$

حيث أن $I^{obs.}$ تمثل الشدة الضوئية المستلمة للجرم . لنمذجة توزيع الشدة الضوئية المستلمة لمجرة اهليلجية $I^{obs.}(x,y)$ ، تم استخدام طريقة الالتفاف للنموذج النظري للمجرة المفترضة $I^{true}(x,y)$ مع دالة الانتشار النقطي $PSF(x,y)$

⁺(إن قيم $\beta = 10$ و $\beta = 25$ هي لاجل توضيح اقتراب دالة موفت من دالة كاوس) .
المعتمدة حسب المعادلة (8) ، والتي يمكن تمثيلها رياضياً بالعلاقة التالية :
[Schweizer, 1979; Capaccioli, 1983]

$$I^{Conv.}(x, y) = \int_{-\infty}^{+\infty} \int_{-\infty}^{+\infty} I^{true}(x, y) PSF(x - x', y - y') dx' dy' \quad \text{--- (9)}$$

حيث يمثل x, y, x', y', dx', dy' الإحداثيات الكارتيزية الظاهرية ومركز الاحداثيات هو مركز المجرة . لاجراء عملية الالتفاف المتمثلة بالعلاقة أعلاه ، تم كتابة برنامج على الحاسبة استخدم فيها الـ **MATLAB (V 6.5)** ، والشكل (6) يوضح صورة المجرة بعد الالتفاف .

النتائج والمناقشة :

الاشكال من (7) إلى (10) تبين منحنيات السطوع السطحي للمجرات الاهليلجية المعاملة بمؤثرات الرؤية ، ومن خلال هذه الاشكال يتبين إن الالتفاف يؤدي إلى تغير شكل منحنى السطوع السطحي للنموذج - $r^{1/4}$ (الخط الصلب) إلى منحنيات يكون فيها توزيع السطوع السطحي للمناطق القريبة من المركز تقريبا ثابتاً ومقدار الخفوت النسبي في النورانية السطحية عن النموذج يتناسب مع قيمة (σ / r_e) التابع لدالة الانتشار النقطي . الجدول (1) يعرض قيم التعقيم المركزي لمنحنيات السطوع السطحي الناشئة عن التفاف دالتي الانتشار النقطي مع النموذج المعتمد ضمن المدى $0.001 \leq (\sigma/r_e) \leq 0.9$ ، والشكل (11) يبين علاقة التعقيم المركزي مع قيمة التشفيت المركزي المختزلة (σ / r_e) لدالة الانتشار النقطي ، ويتضح أيضاً من هذا الرسم أن منحنيات التعقيم ذات علاقة أسية ، وتم إيجاد المعادلات التي تمثل تلك العلاقة مع نسبة الخطأ باستخدام الـ

: **MATLAB (cftool)**

$$\Delta\mu_G(0) = (7.30 \mp 0.41)(\sigma/r_e)^{(0.220 \mp 0.029)} \quad \text{--- (10)}$$

$$\Delta\mu_{M(\beta=4.76)}(0) = (7.48 \mp 0.38)(\sigma/r_e)^{(0.218 \mp 0.025)} \quad \text{--- (11)}$$

$$\Delta\mu_{M(\beta=2.5)}(0) = (7.70 \mp 0.37)(\sigma/r_e)^{(0.214 \mp 0.024)} \quad \text{--- (12)}$$

$$\Delta\mu_{M(\beta=1.5)}(0) = (8.13 \mp 0.36)(\sigma/r_e)^{(0.206 \mp 0.021)} \quad \text{--- (13)}$$

المعادلة (10) تتفق مع النتائج التي توصل اليها كل من Younis et al. (1988) و Capaccioli & de Vaucouleurs (1983) ، وكذلك يتضح أيضاً من الاشكال (7) إلى (10) أن هنالك زيادة في النورانية عن النموذج عند المسافة القطبية المختزلة $(r/r_e) > 1.0$ ، وهذا يدل على أن

الالتفاف يقلل من النورانية للأجزاء المركزية ويضيقه للمناطق ($r > r_e$) مما يجعل منحنيات النورانية للنماذج الملتفة ذات نورانية أعلى من النموذج - $r^{1/4}$ وان مقدار تلك الزيادة تتناسب مع قيمة (σ / r_e) ، كذلك يتضح من الأشكال أن مواضع الانقلاب r_{\pm} (وهي المواضع القطبية المختزلة $(r/r_e)^{1/4}$ التي تتغير عندها المنحنيات المعاملة بمؤثرات الرؤية من نورانية أخفت من النموذج - $r^{1/4}$ إلى نورانية أعلى من النموذج) تعتمد على (σ / r_e) ، والجدول (2) يعرض قيم مواضع الانقلاب لمنحنيات السطوح السطحي الناشئة عن التفاف والتي الانتشار النقطي مع النموذج المعتمد . والشكل (12) يبين علاقة مواضع الانقلاب r_{\pm} مع (σ / r_e) لكاس وموفت ، والمعادلات التالية تم حسابها مع نسبة الخطأ باستخدام الـ **MATLAB (cftool)** :

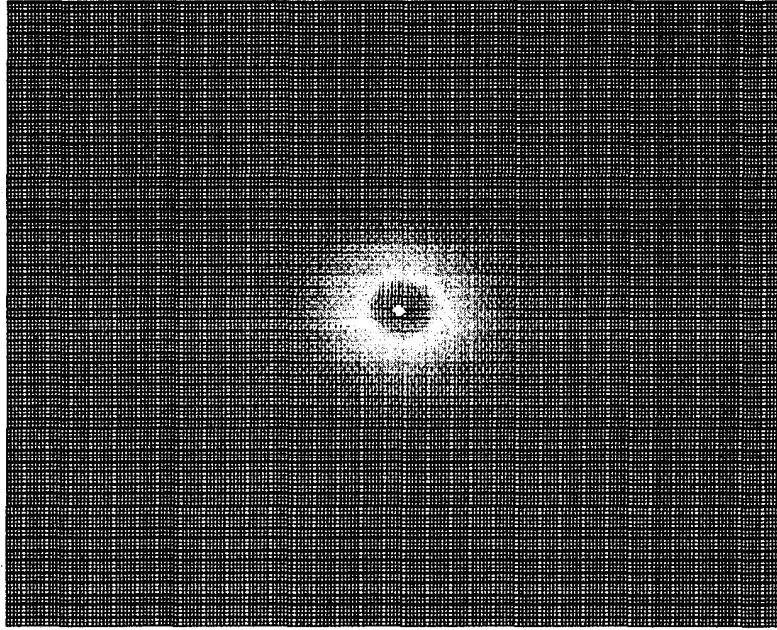
$$r_{\pm G} = (0.90 \mp 0.074) (\sigma / r_e)^{(0.201 \mp 0.040)} \quad \text{--- (14)}$$

$$r_{\pm M(\beta=4.76)} = (0.92 \mp 0.082) (\sigma / r_e)^{(0.200 \mp 0.042)} \quad \text{--- (15)}$$

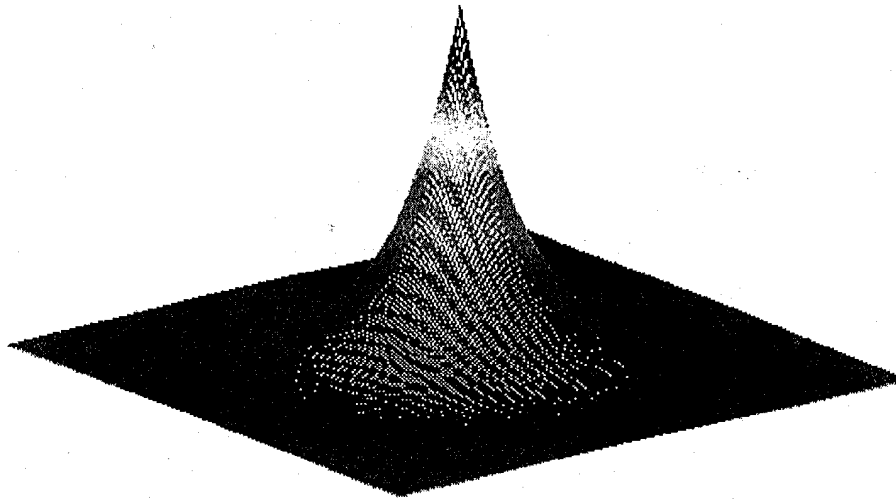
$$r_{\pm M(\beta=2.5)} = (0.97 \mp 0.082) (\sigma / r_e)^{(0.183 \mp 0.039)} \quad \text{--- (16)}$$

$$r_{\pm M(\beta=1.5)} = (1.06 \mp 0.098) (\sigma / r_e)^{(0.170 \mp 0.041)} \quad \text{--- (17)}$$

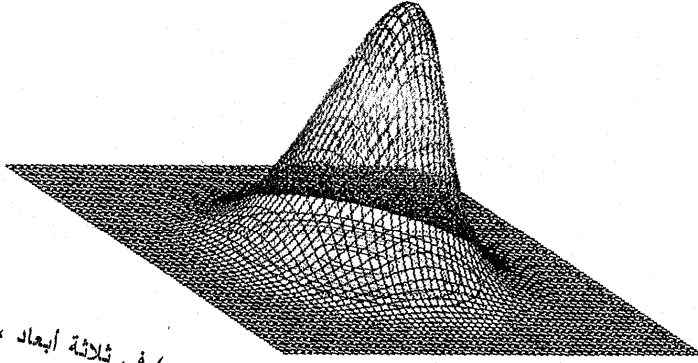
المعادلة (14) تتفق أيضاً مع نتائج Younis et al. (1988) و Capaccilio & de Vaucouleurs (1983) .



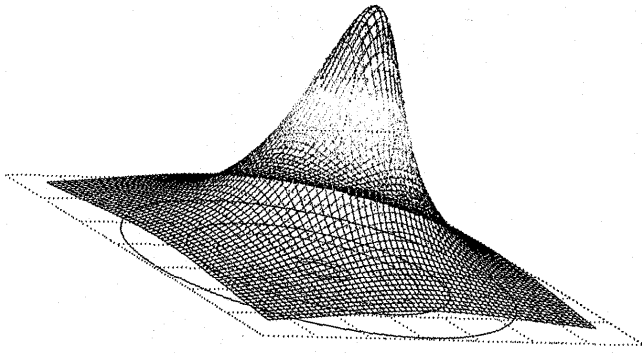
الشكل (1) صورة المجرة الاهليلجية المفترضة حسب نموذج $r^{1/4}$ في بعدين والالوان تمثل تغير السطوع السطحي بوحدات الشدة



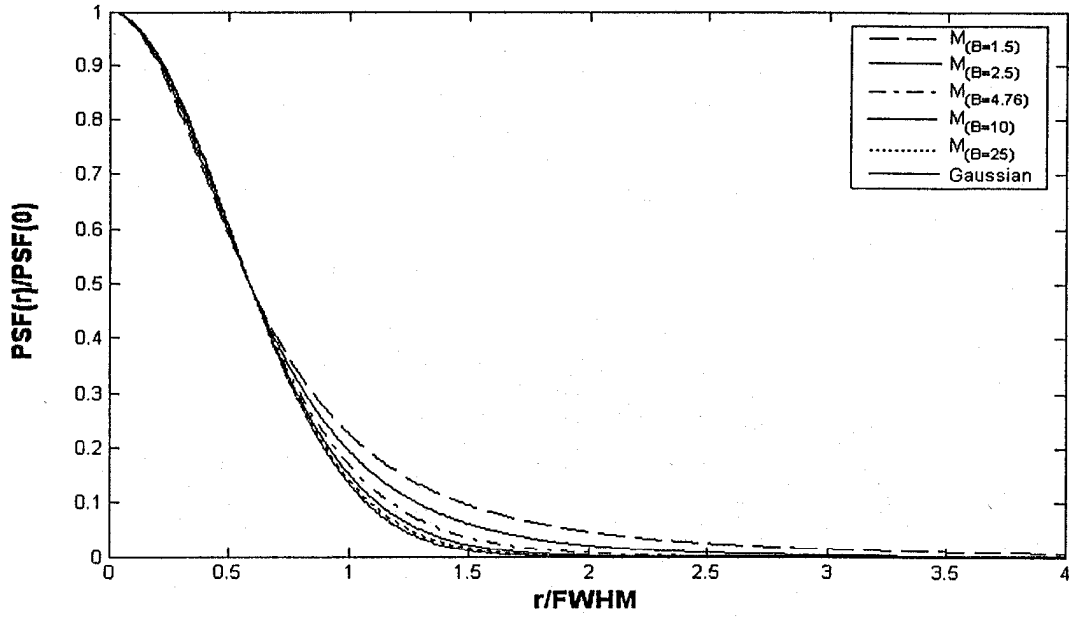
الشكل (2) صورة المجرة الاهليلجية المفترضة حسب نموذج $r^{1/4}$ في ثلاثة أبعاد



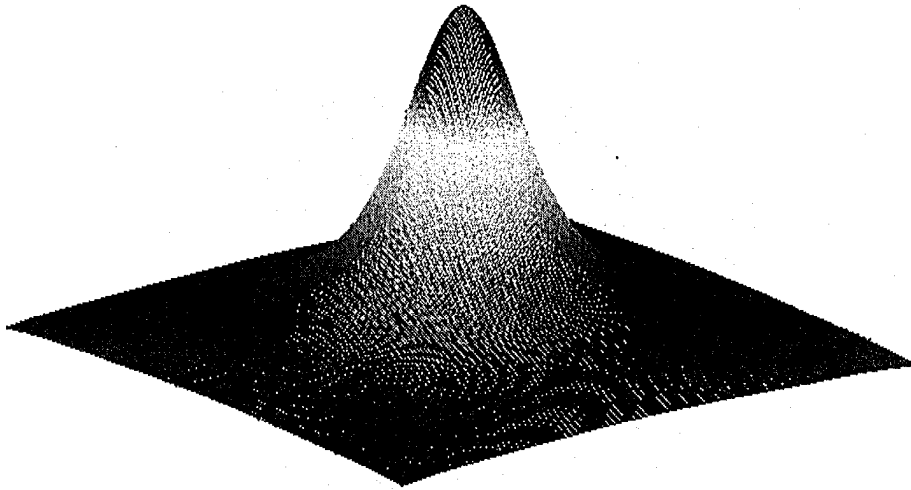
الشكل (3) صورة دالة الانتشار النقطي (دالة كاوس) في ثلاثة أبعاد ، البعد الثالث يمثل تغير شدة السطوع السطحي



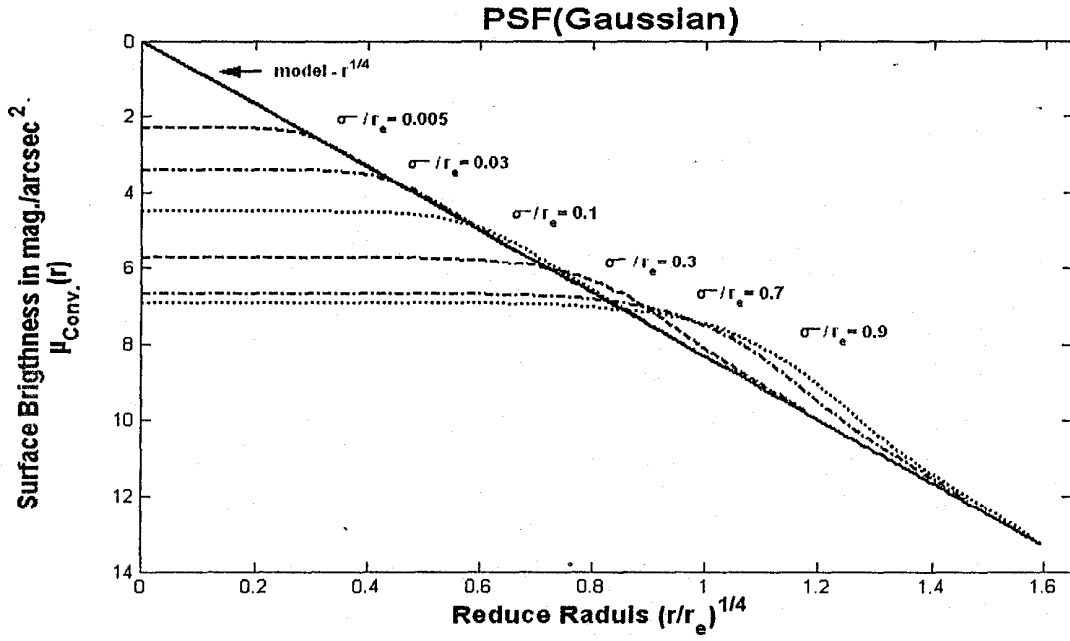
الشكل (4) صورة دالة الانتشار النقطي (دالة موفت) في ثلاثة أبعاد ، البعد الثالث يمثل تغير شدة السطوع السطحي



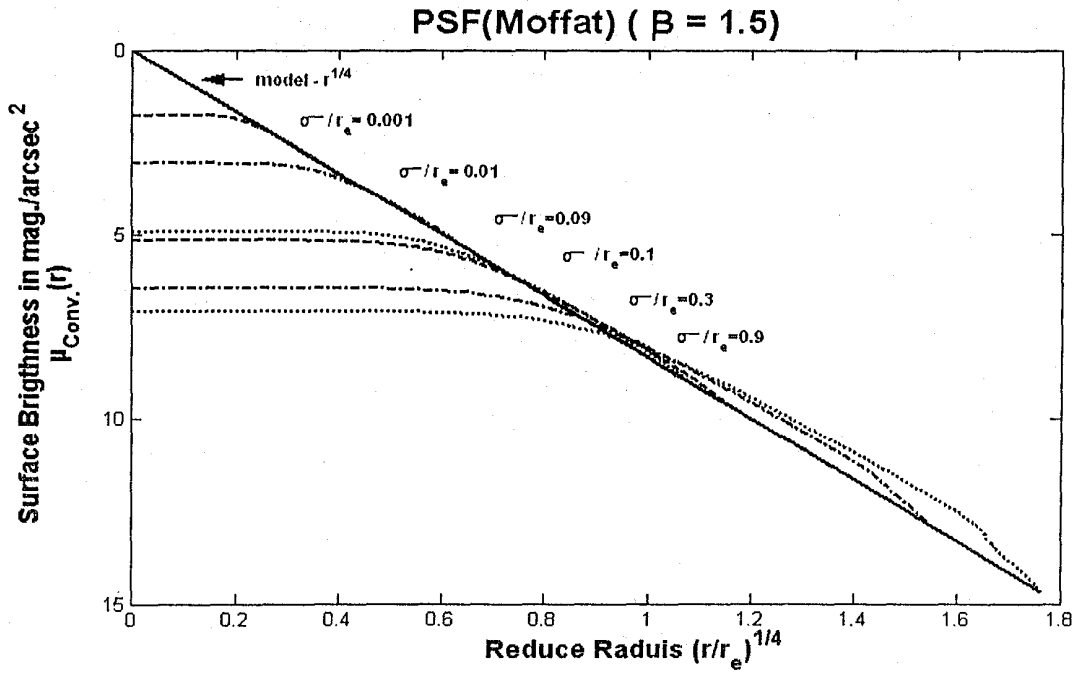
شكل (5) منحنى الشدة السطحية لدالة الانتشار النقطي (PSF) لكاوس وموفت ولقيم مختلفة لـ β مع المسافة القطبية بوحدات الـ FWHM



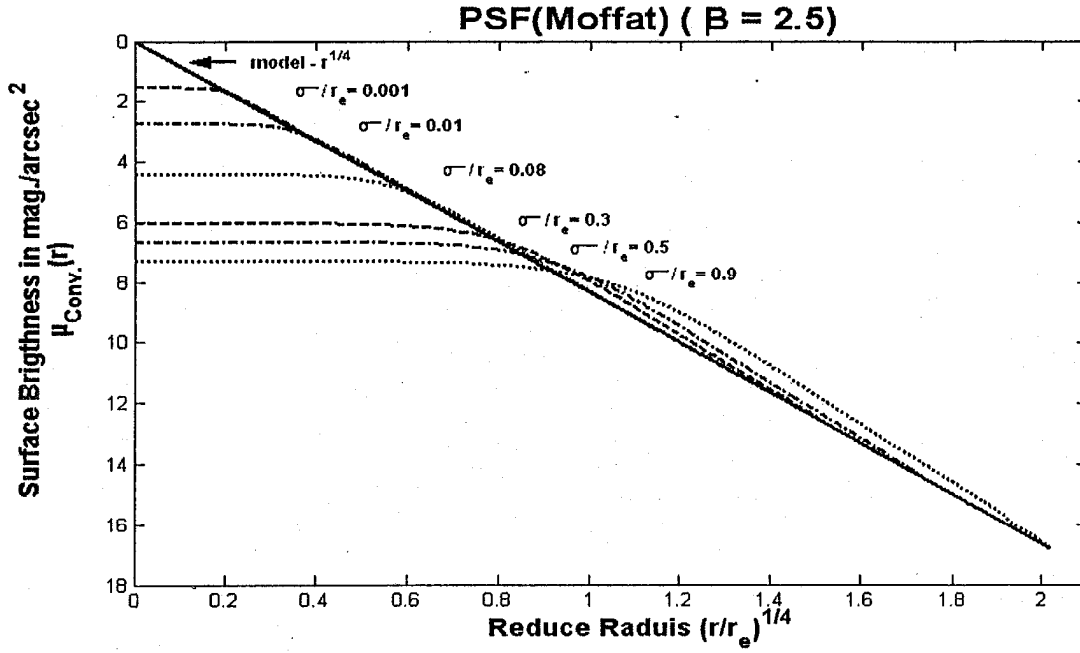
شكل (6) صورة المجرة الاهليلجية المفترضه حسب نموذج $r^{1/4}$ بعد إجراء الانتفاف



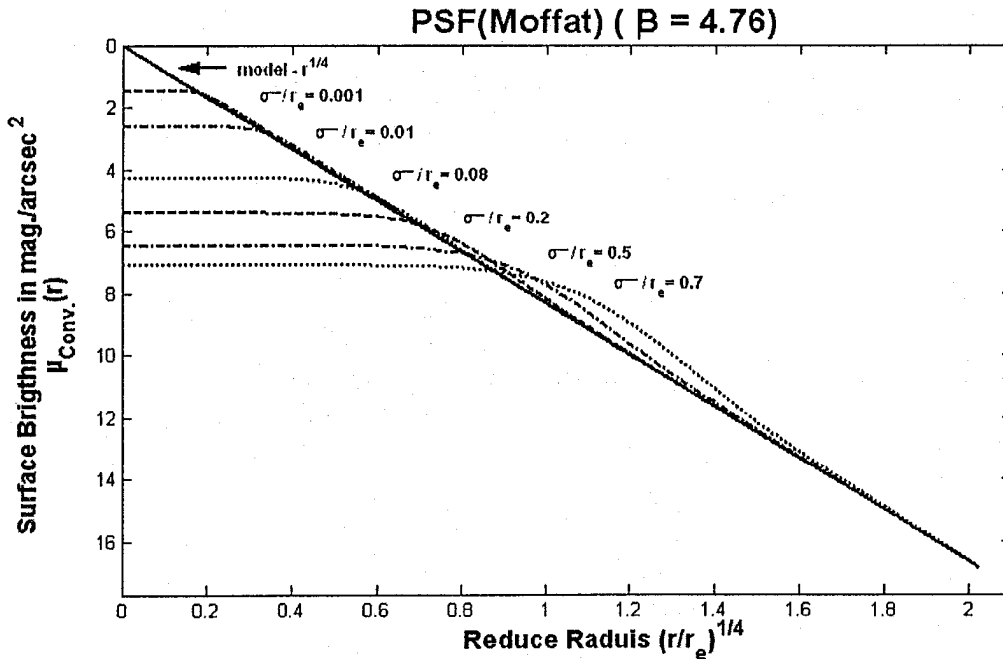
الشكل (7) السطوع السطحي للنموذج - $r^{1/4}$ (الخط الصلب) والمنحنيات الناشئة عن التفاف النموذج مع دالة الانتشار النقضي لكأوس



الشكل (8) السطوع السطحي للنموذج - $r^{1/4}$ (الخط الصلب) والمنحنيات الناشئة عن التفاف النموذج مع دالة الانتشار النقضي لموفت (β = 4.76)

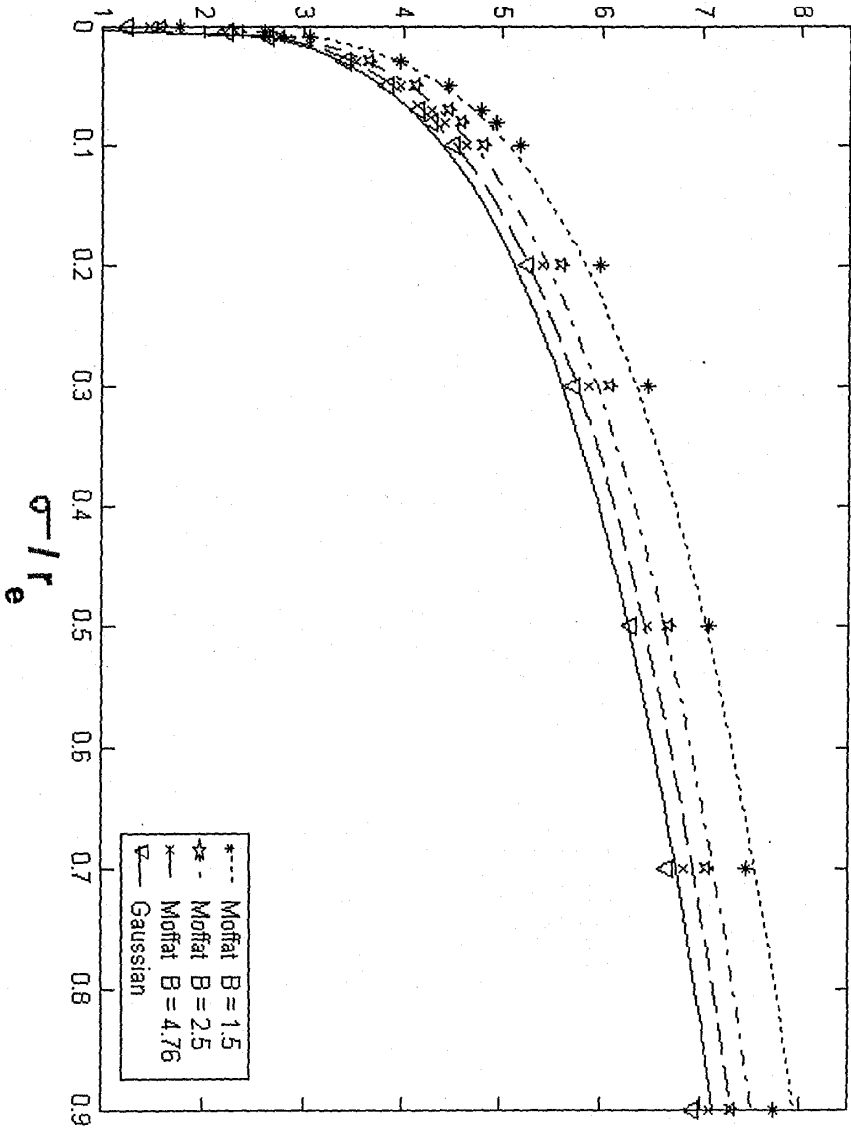


الشكل (9) السطوع السطحي للنموذج - $r^{1/4}$ (الخط الصلب) والمنحنيات الناشئة عن التفاف النموذج مع دالة الانتشار النقطي لموفت ($\beta = 2.5$)

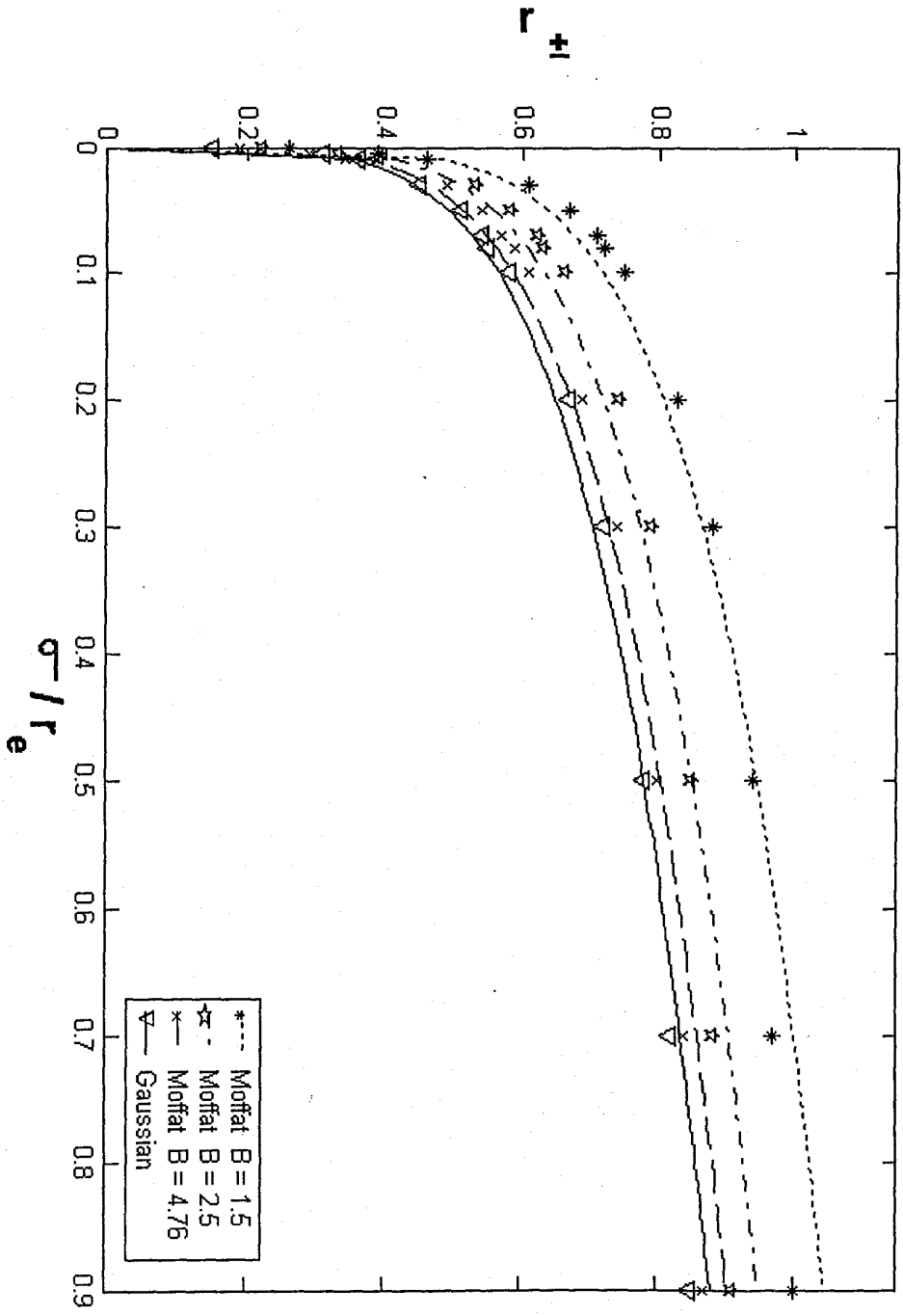


الشكل (10) السطوع السطحي للنموذج - $r^{1/4}$ (الخط الصلب) والمنحنيات الناشئة عن التفاف النموذج مع دالة الانتشار النقطي لموفت ($\beta = 1.5$)

Central Dimming



الشكل (11) علاقة التبعيم المركزي مع قيمة (σ/r_e) المختلفة لادالة الانتشار النقطي



الشكل (12) مواضع الاقصاب $r_±$ مع قيمة (σ/r_e) المختزلة لالة الانتشار النقطي

جدول (1) : التعقيم المركزي $\Delta\mu(0)$

التعقيم المركزي $\Delta\mu(0)$				(6/13)
مؤقت ($\beta=1.5$)	مؤقت ($\beta=2.5$)	مؤقت ($\beta=4/6$)	كاربن	
1.76	1.56	1.45	1.23	0.001
2.59	2.33	2.20	2.22	0.005
3.05	2.76	2.61	2.62	0.01
3.97	3.66	3.52	3.41	0.03
4.45	4.12	3.96	3.84	0.05
4.79	4.45	4.28	4.15	0.07
4.93	4.58	4.41	4.28	0.08
5.17	4.81	4.64	4.51	0.1
5.97	5.59	5.40	5.25	0.2
6.46	6.07	5.87	5.72	0.3
7.08	6.67	6.47	6.30	0.5
7.47	7.05	6.84	6.67	0.7
7.74	7.31	7.10	6.93	0.9

جدول (2) : مواضع الانقلاب r_{\pm}

مواضع الانقلاب r_{\pm}				(6/13)
مؤقت ($\beta=1.5$)	مؤقت ($\beta=2.5$)	مؤقت ($\beta=4/6$)	كاربن	
0.26	0.22	0.19	0.15	0.001
0.39	0.33	0.29	0.31	0.005
0.46	0.39	0.34	0.36	0.01
0.61	0.53	0.49	0.45	0.03
0.67	0.58	0.54	0.51	0.05
0.71	0.62	0.57	0.54	0.07
0.72	0.63	0.59	0.55	0.08
0.75	0.66	0.61	0.58	0.1
0.83	0.74	0.69	0.67	0.2
0.88	0.79	0.74	0.72	0.3
0.94	0.85	0.80	0.78	0.5
0.97	0.88	0.84	0.82	0.7
1.00	0.91	0.87	0.85	0.9

الملحق (A) :

دالة كاوس تعطى بالعلاقة :

$$PSF_G(r) = \frac{1}{2\pi\sigma^2} \exp\left[-\frac{1}{2}\left(\frac{r}{\sigma}\right)^2\right] \quad \text{--- (A.1)}$$

قيمة الدالة عند المركز ($r = 0$) :

$$PSF_G(0) = \frac{1}{2\pi\sigma^2} \quad \text{--- (A.2)}$$

من خلال قسمة المعادلتين اعلاه نحصل على :

$$\frac{PSF_G(r)}{PSF_G(0)} = \exp\left[-\frac{1}{2}\left(\frac{r}{\sigma}\right)^2\right] \quad \text{--- (A.3)}$$

قيمة الدالة عند العرض الكامل لمنتصف القمة ($r = FWHM/2$) ، إلى قيمة

الدالة عند المركز تساوي 0.5 أي إن :

$$0.5 = \exp\left[-\frac{1}{2}\left(\frac{r}{\sigma}\right)^2\right] \quad \text{--- (A.4)}$$

ومن المعادلة اعلاه نجد أن $r = 1.17741 \sigma$ وعليه فان :

$$FWHM = 2.35482 \sigma \quad \text{--- (A.5)}$$

الملحق (B) :

نستطيع الحصول على دالة كاوس من دالة موفت عندما تقترب قيمة β الى المالانهاية ($\beta \rightarrow \infty$) ، باستخدام المعادلة (6) يمكن إعادة كتابة دالة موفت معادلة (5) بدلالة FWHM و β ، وكما يلي :

$$PSF_M(r) = 4(2^{1/\beta} - 1) \frac{\beta - 1}{\pi FWHM^2} \left[1 + 4(2^{1/\beta} - 1) \left(\frac{r}{FWHM} \right)^2 \right]^{-\beta} \quad \text{--- (B.1)}$$

عند $\beta \rightarrow \infty$ ، نستطيع التعويض عن $2^{1/\beta} - 1$ بـ $(\ln 2)/\beta$ [Trujillo et al. 2001] نحصل على :

$$\lim_{\beta \rightarrow \infty} PSF(r) = \lim_{\beta \rightarrow \infty} \frac{\beta - 1}{\beta} \frac{4 \ln 2}{\pi FWHM^2} \left[1 + \frac{4 \ln 2}{\beta} \left(\frac{r}{FWHM} \right)^2 \right]^{-\beta} \quad \text{--- (B.2)}$$

بإستخدام المتطابقة الرياضية $\lim_{j \rightarrow \infty} (1 + k/j)^j = \exp(k)$ [Trujillo et al. 2001] سوف نحصل على :

$$\lim_{\beta \rightarrow \infty} PSF(r) = \frac{4 \ln 2}{\pi FWHM^2} \exp \left[- \frac{4(\ln 2)r^2}{FWHM^2} \right] \quad \text{--- (B.3)}$$

وباستخدام المعادلة (A.5) فإن مربع العرض الكامل لمنتصف القمة لدالة كاوس يمكن كتابتها بالشكل التالي $FWHM^2 = 8\sigma^2 \ln 2$ ، وبالتعويض بالمعادلة (B.3) نحصل على دالة كاوس :

$$\lim_{\beta \rightarrow \infty} PSF_G(r) = \frac{1}{2\pi\sigma^2} \exp \left[- \frac{1}{2} \left(\frac{r}{\sigma} \right)^2 \right] \quad \text{--- (B.4)}$$

References :

- Bendinelli, O., Lorenzutta, S., Parmeggiani, G., Djorgovski, S., (1990)** " *Seeing deconvolution of Globular Clusters in M31* ". *Astro. J.*, 99, 774.
- Capaccioli, M., (1983)** " *Luminosity distribution in galaxies. II - A study of accidental and systematic errors with application to NGC 3379* ". *Astrophys. J. Suppl.*, 52, 465.
- Capaccioli, M., de Vaucouleurs, G., (1983)** " *Luminosity Distribution In Galaxies. II. A Study Of Accidental And Systematic Errors With Application To NGC 3379* ". *Astrophys. J. Suppl.*, 52, 465-486.
- de Vaucouleurs, G., (1948)** " *Recherches sur les Nebuleuses Extragalactiques* ". *Ann. Astrophys.*, 11, 247.
- Djorgovski, S., (1983)** " *Modelling of seeing effects in extragalactic astronomy and cosmology* ". *Astron. Astrophys.*, 4, 271.
- Jedrzejewski, R. I., (1987)** " *CCD Surface Photometry Of Elliptical Galaxies - I. Observations, Reduction And Results* ". *Mon. Not. Roy. Astro. Soc.*, 226, 747-768.
- Saglia, R., Bertschinger, E., Baggle, G., Burstein, D., Colles, M., Davies, R., McMahan, R., Wegner, G., (1993)** " *The Effects Of Seeing On The Photometric Properties Of Elliptical Galaxies* ". *Mon. Not. Roy. Astro. Soc.*, 264, 961-974.
- Schweizer, F., (1979)** " *Effects Of Seeing On The Light Distribution In The Cores Of Elliptical Galaxies* ". *Astrophys. J.*, 233, 23.
- Schweizer, F., (1981)** " *Optical Properties Of The Central Region Of NGC 1316 : A Small Bright Core In A Giant D Galaxy* ". *Astrophys. J.*, 246, 722.
- Trujillo, I., Aguerrri, J. A. L., Cepa, J., Gutierrez, C. M., (2001)** " *The Effects of Seeing On Sersic Profiles - II. The Moffat PSF* ". *Mon. Not. Roy. Astro. Soc.*, 328, 977-985.
- Younis, S. M., Mutter, A. A., Khidhir, A. M., (1988)** " *Seeing Effects In The Core Of Elliptical Galaxies* ". *Space. Astro. Research Center*, P.77.
- Younis, S. M., (1997)** " *Seeing Effects On Modeling The Light Distribution In The Cores Of Elliptical Galaxies* ". *J. Educ. Sci.*, 26, 136.